Instituto Tecnológico GeoMinero de España

MAPA GEOLOGICO DE ESPAÑA

Escala 1:50.000

DOCUMENTACION COMPLEMENTARIA

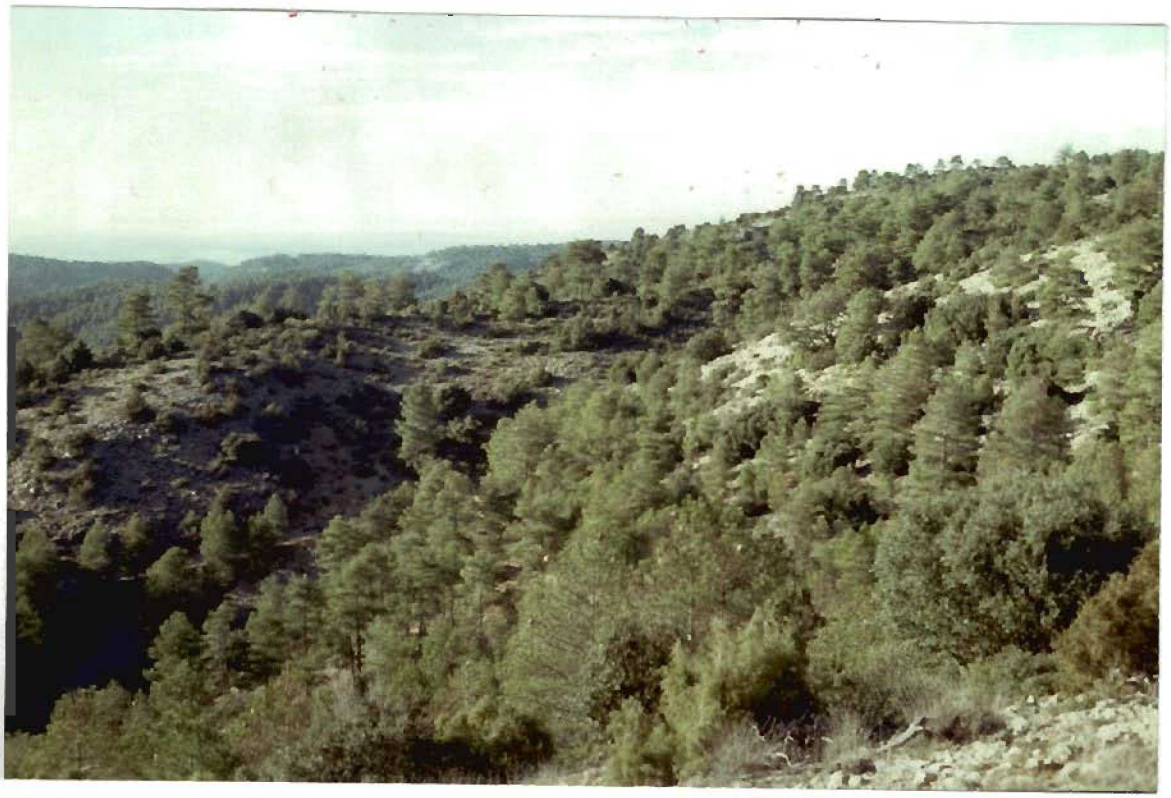
ALBUM FOTOGRAFICO

HOJA Nº 586 (23 - 23)

E.N. ADARO

JULIO, 1990

MINISTERIO DE INDUSTRIA Y ENERGIA



23-23-Ad-AG-9019F

Núcleo anticlinal de la Sierra de Bascuñana. Formación Carbonatada de Chelva. Unidades 2 y 3.



23-23-AD-AG-9020F

Detalle de las calizas bioclásticas de la Formación Carbonatada de Chelva. "Unidad oolítica" (3)..



23-23-AD-AG-9021F

Margas abigarradas y margo-calizas de la Facies "Weald" del Anticlinal de Bascuñana



23-23-AD-AG-9022F

Base de la Formación "Arenas de Utrillas". Conglomerados silíceos en el flanco oriental del Anticlinal de Bascuñana.



23-23-AD-JL-9050F

Formación margas, arcillas, yesos y dolomías de Villalba de la Sierra, en el valle de Bascuñana. Frente a la localidad de Noheda.



23-23-AD-JL-9051F

Cuestas en el techo de la Unidad paleógena en Noheda



23-23-AD-AG-9028-F

Panorámica de las unidades paleógenas al Oeste de Noheda. Al fondo, Unidad Neógena.



23-23-AD-AG-9024F

Cuerpos canalizados en la unidad Paleógeno-Neógeno en las proximidades de Valdecañas.



23-23-AD-JL-9053F

Estratificaciones cruzadas planares en los canales de la Unidad Paleógeno-Neógeno en las proximidades de Culebras.



23-23-AD-AG-9026F

Estratificaciones cruzadas planares en los cuerpos canalizados de la Unidad Paleógeno-Neógeno al E de Bolliga.



23-23-AD-AG-9025F

Cuerpos canalizados en la serie de Bolliga. Unidad Paleógeno-Neógeno



23-23-AD-AG-9027F

Unidad Paleógena-Neógena del Sinclinal Cañamares-Mariana. Cuerpos canalizados de gran extensión lateral.



23-23-AD-AG-9028F

Detalle en la estratificación en los cuerpos canalizados de la Unidad Paleógeno-Neógeno en el Sinclinal de Mariana-Cañamares.



23-23-AD-JL-9052F

Sucesión de cuerpos canalizados en la Serie de Bolliga



23-23-AD-JL-9055F

Vista de la Unidad Areniscas, arenas y arcillas rojas del Neóge no en el Llano del Estepar (Mesa de Cuevas de Velasco).



23-23-AD-AG-9029F

Vista panorámica de los depósitos terciarios en el centro de la Hoja de Cascueña



23-23-AD-AG-9031F

Panorámica del Sinclinal Neógeno de Torralba. En primer término facies proximales de abanico aluvial (conglomerados y arcillas).



23-23-AD-AG-9030F

Panorámica de las facies canalizadas del Abanico aluvial del Arroyo del Prado de la Torcas.



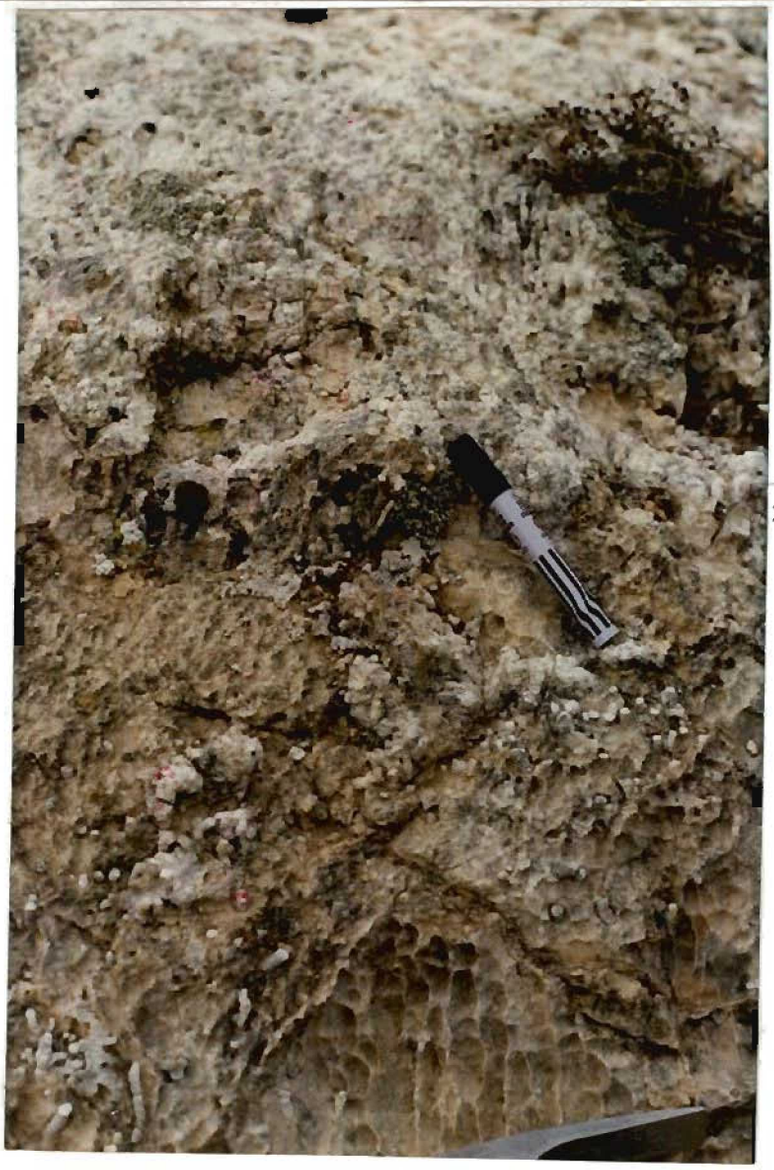
23-23-AD-AG-9032F

Serie de Torralba. Yesos, arcillas y margas de la Unidad Neógena.



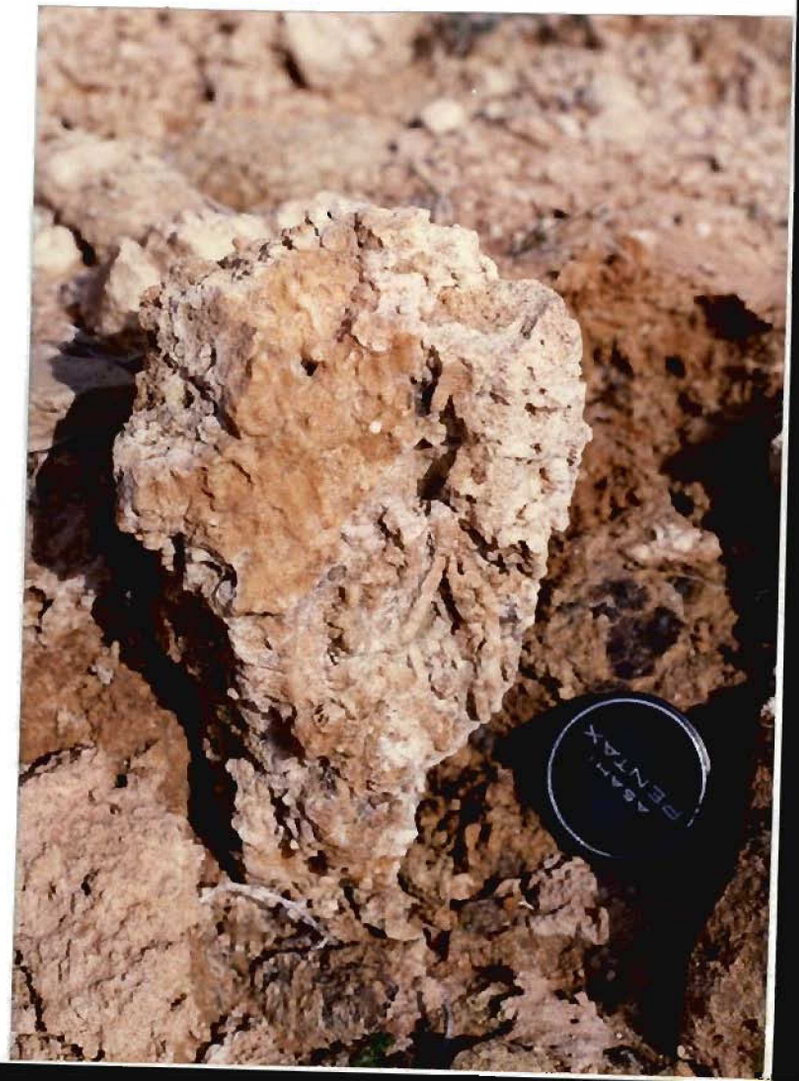
23-23-AD-AG- 9056F

Flanco occidental del Sinclinal de Torralba.



23-23-AD-AG-9034F

Detalle de los yesos bioturbados y silicificados de la Unidad Neógena de la Serie de Torralba.



23-23-AD-AG-9035F

Yeso silicificado y bioturbado. Detalle de la foto anterior.



23-23-AD-AG-9033F

Conglomerados y brechas en facies proximales de abanico aluvial de la Unidad Neógena en las proximidades de Bascuñana de San Pedro.



23-23-AD-JL-9057F

Detalle de la foto anterior.



Chisel point



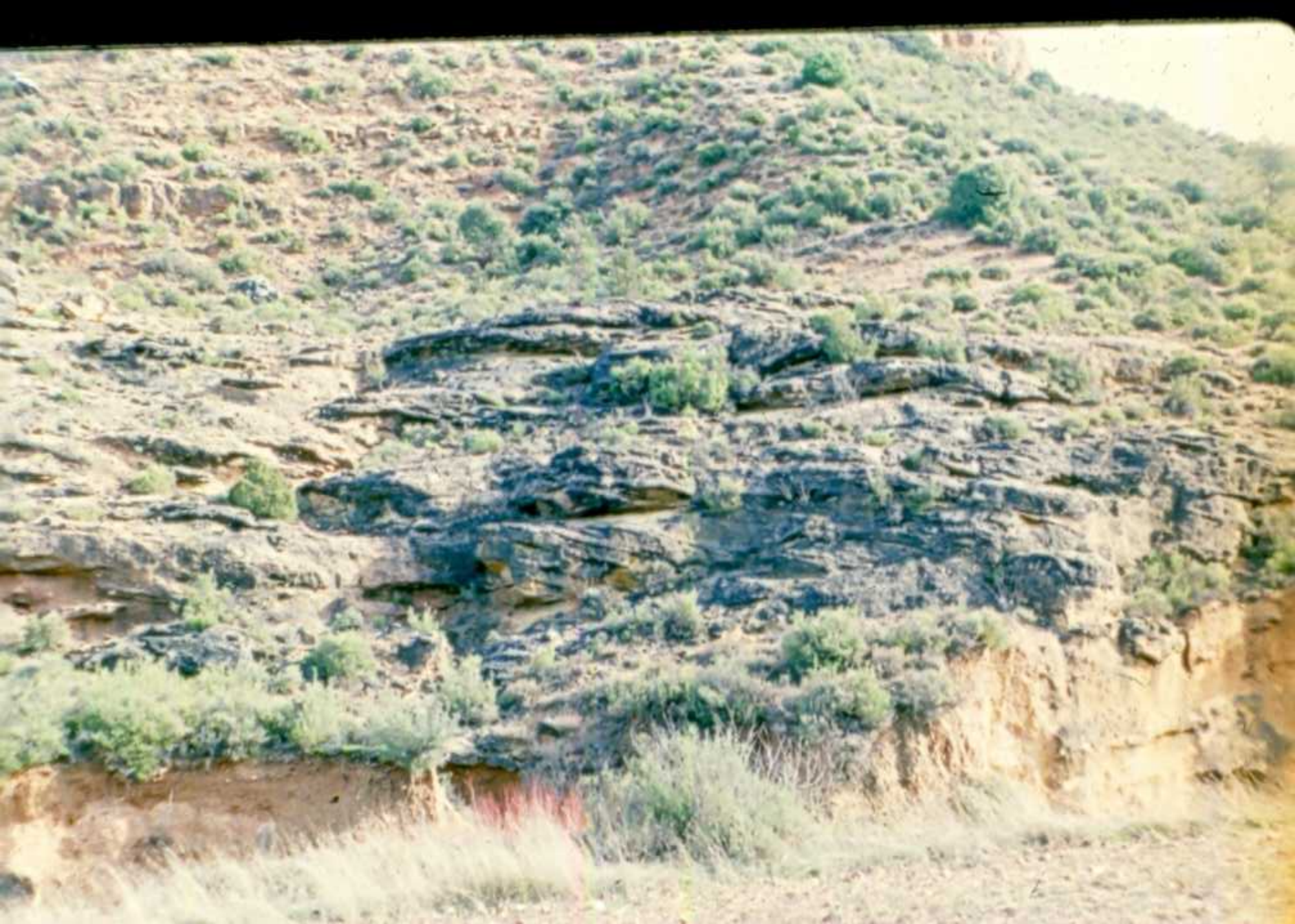




































ASAHI
PENTAX























23-23-AD-JL-9058F

Conglomerados y brechas calcáreas de la Unidad Neógena (19) en Torralba.



23-23-AD-JL-9059F

Mesas de la Unidad Neógena en las proximidades de Villar de Domingo García.



23-23-AD-JL-9054F

Vista panorámica de la Mesa de Gascueña.